

# Introduction à la physique quantique

Julien Cubizolles

Lycée Louis le Grand

jeudi 23 juin 2022

# Introduction à la physique quantique

Julien Cubizolles

Lycée Louis le Grand

jeudi 23 juin 2022

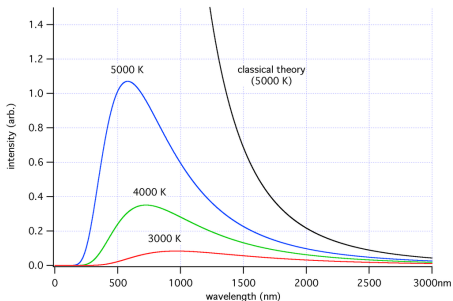
# Historique

Au début du XX<sup>e</sup> siècle, des observations mettent en défaut la physique classique (mécanique et électromagnétique)

# Historique

Au début du XX<sup>e</sup> siècle, des observations mettent en défaut la physique classique (mécanique et électromagnétique)

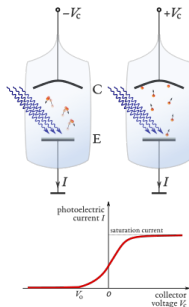
- ▶ catastrophe ultraviolette (expliqué par Planck 1900)



# Historique

Au début du XX<sup>e</sup> siècle, des observations mettent en défaut la physique classique (mécanique et électromagnétique)

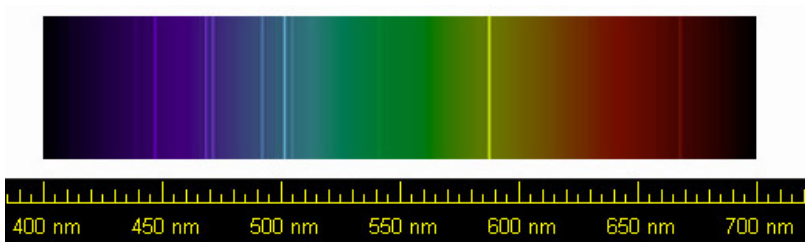
- ▶ effet photoélectrique (par Einstein 1905)



# Historique

Au début du XX<sup>e</sup> siècle, des observations mettent en défaut la physique classique (mécanique et électromagnétique)

- ▶ stabilité des atomes et raies spectrales (Bohr 1913)



# Historique

# Historique

- ▶ élaboration de la théorie des quanta (Planck 1900, puis Einstein, Bohr, Heisenberg de Broglie)

# Historique

- ▶ élaboration de la théorie des quanta (Planck 1900, puis Einstein, Bohr, Heisenberg de Broglie)
- ▶ puis mécanique quantique 1925 (les précédents et Schrödinger, Dirac, Born, Pauli)

# Ruptures avec la physique classique

- ▶ **dualité onde/corpuscule** : pour le rayonnement et pour la matière

# Ruptures avec la physique classique

- ▶ dualité onde/corpuscule : pour le rayonnement et pour la matière
- ▶ phénomènes de chocs pour la lumière (effet photoélectrique)

# Ruptures avec la physique classique

- ▶ dualité onde/corpuscule : pour le rayonnement et pour la matière
- ▶ phénomènes de chocs pour la lumière (effet photoélectrique)
- ▶ phénomènes d'interférences pour la matière

# Ruptures avec la physique classique

- ▶ dualité onde/corpuscule : pour le rayonnement et pour la matière
- ▶ phénomènes de chocs pour la lumière (effet photoélectrique)
- ▶ phénomènes d'interférences pour la matière
- ▶ superposition d'états quantiques (chat de Schrödinger)

## À notre échelle

- ▶ peu observable à notre échelle car les objets matériels ont des « tailles » grande devant leur « longueur d'onde », ils n'interfèrent quasiment pas

## À notre échelle

- ▶ peu observable à notre échelle car les objets matériels ont des « tailles » grande devant leur « longueur d'onde », ils n'interfèrent quasiment pas
- ▶ seuls certains états sont observables

## À notre échelle

- ▶ peu observable à notre échelle car les objets matériels ont des « tailles » grande devant leur « longueur d'onde », ils n'interfèrent quasiment pas
- ▶ seuls certains états sont observables
- ▶ les résultats de mesure sont **probabilistes** à notre échelle mais l'évolution reste fondamentalement déterministe

# À notre échelle

- ▶ peu observable à notre échelle car les objets matériels ont des « tailles » grande devant leur « longueur d'onde », ils n'interfèrent quasiment pas
- ▶ seuls certains états sont observables
- ▶ les résultats de mesure sont **probabilistes** à notre échelle mais l'évolution reste fondamentalement déterministe
- ▶ **intrication quantique** : états à plusieurs particules distantes, la réalisation d'une mesure sur l'une fixe l'état de l'autre, instantanément

## Succès et applications

- ▶ redonne la **structure atomique** (Démocrite) morcelée, décrit les structures atomiques (avec des précisions de l'ordre de  $1e-12$ ),

# Succès et applications

- ▶ redonne la **structure atomique** (Démocrite) morcelée, décrit les structures atomiques (avec des précisions de l'ordre de  $1e-12$ ),
- ▶ structure **moléculaires**, structure **des solides** (1/2 conducteurs et toute l'électronique, supraconducteurs)

# Succès et applications

- ▶ redonne la **structure atomique** (Démocrite) morcelée, décrit les structures atomiques (avec des précisions de l'ordre de  $1e-12$ ),
- ▶ structure **moléculaires**, structure **des solides** (1/2 conducteurs et toute l'électronique, supraconducteurs)
- ▶ régit aussi les **naines blanches/étoiles à neutrons** : objets dégénérés car très denses ( $1t/cm^3$  et  $1e9 t/cm^3$ )

# Succès et applications

- ▶ redonne la **structure atomique** (Démocrite) morcelée, décrit les structures atomiques (avec des précisions de l'ordre de  $1e-12$ ),
- ▶ structure **moléculaires**, structure **des solides** (1/2 conducteurs et toute l'électronique, supraconducteurs)
- ▶ régit aussi les **naines blanches/étoiles à neutrons** : objets dégénérés car très denses ( $1t/cm^3$  et  $1e9 t/cm^3$ )
- ▶ autres objets dégénérés : électrons dans un conducteur ou 1/2 conducteur,

# Succès et applications

- ▶ redonne la **structure atomique** (Démocrite) morcelée, décrit les structures atomiques (avec des précisions de l'ordre de  $1e-12$ ),
- ▶ structure **moléculaires**, structure **des solides** (1/2 conducteurs et toute l'électronique, supraconducteurs)
- ▶ régit aussi les **naines blanches/étoiles à neutrons** : objets dégénérés car très denses ( $1t/cm^3$  et  $1e9 t/cm^3$ )
- ▶ autres objets dégénérés : électrons dans un conducteur ou 1/2 conducteur,
- ▶ depuis les années 2000 : nouveaux états de **gaz atomiques/moléculaires dégénérés** : systèmes modèles d'étude de la physique de systèmes plus denses (supraconducteurs)

# Succès et applications

- ▶ redonne la **structure atomique** (Démocrite) morcelée, décrit les structures atomiques (avec des précisions de l'ordre de  $1e-12$ ),
- ▶ structure **moléculaires**, structure **des solides** (1/2 conducteurs et toute l'électronique, supraconducteurs)
- ▶ régit aussi les **naines blanches/étoiles à neutrons** : objets dégénérés car très denses ( $1t/cm^3$  et  $1e9 t/cm^3$ )
- ▶ autres objets dégénérés : électrons dans un conducteur ou 1/2 conducteur,
- ▶ depuis les années 2000 : nouveaux états de **gaz atomiques/moléculaires dégénérés** : systèmes modèles d'étude de la physique de systèmes plus denses (supraconducteurs)
- ▶ intrication quantique utilisée pour la **cryptographie quantique** (permet de détecter qu'une communication a été interceptée)

# Succès et applications

- ▶ redonne la **structure atomique** (Démocrite) morcelée, décrit les structures atomiques (avec des précisions de l'ordre de  $1e-12$ ),
- ▶ structure **moléculaires**, structure **des solides** (1/2 conducteurs et toute l'électronique, supraconducteurs)
- ▶ régit aussi les **naines blanches/étoiles à neutrons** : objets dégénérés car très denses ( $1t/cm^3$  et  $1e9 t/cm^3$ )
- ▶ autres objets dégénérés : électrons dans un conducteur ou 1/2 conducteur,
- ▶ depuis les années 2000 : nouveaux états de **gaz atomiques/moléculaires dégénérés** : systèmes modèles d'étude de la physique de systèmes plus denses (supraconducteurs)
- ▶ intrication quantique utilisée pour la **cryptographie quantique** (permet de détecter qu'une communication a été interceptée)
- ▶ vers l'**ordinateur quantique** ? l'intrication permet de paralléliser les calculs, algorithmes spécifiques beaucoup plus efficaces

# Succès et applications

- ▶ redonne la **structure atomique** (Démocrite) morcelée, décrit les structures atomiques (avec des précisions de l'ordre de  $1e-12$ ),
- ▶ structure **moléculaires**, structure **des solides** (1/2 conducteurs et toute l'électronique, supraconducteurs)
- ▶ régit aussi les **naines blanches/étoiles à neutrons** : objets dégénérés car très denses ( $1t/cm^3$  et  $1e9 t/cm^3$ )
- ▶ autres objets dégénérés : électrons dans un conducteur ou 1/2 conducteur,
- ▶ depuis les années 2000 : nouveaux états de **gaz atomiques/moléculaires dégénérés** : systèmes modèles d'étude de la physique de systèmes plus denses (supraconducteurs)
- ▶ intrication quantique utilisée pour la **cryptographie quantique** (permet de détecter qu'une communication a été interceptée)
- ▶ vers l'**ordinateur quantique** ? l'intrication permet de paralléliser les calculs, algorithmes spécifiques beaucoup plus efficaces
- ▶ échecs ? jamais mise en défaut expérimentalement

# 1. Dualité onde-particule pour la lumière et la matière

## 2. Interprétation probabiliste associée à la fonction d'onde

## 3. Relation d'indétermination spatiale de Heisenberg

## 4. Quantification de l'énergie

# 1. Dualité onde-particule pour la lumière et la matière

## 1.1 Descriptions classique et quantique

### 1.2 Comportement corpusculaire de la lumière

### 1.3 Comportement ondulatoire de la matière

### 1.4 Relations de Planck-Einstein

### 1.5 Limites classiques

## 2. Interprétation probabiliste associée à la fonction d'onde

## 3. Relation d'indétermination spatiale de Heisenberg

## 4. Quantification de l'énergie

Introduction

Dualité onde-particule pour la lumière et la matière

Interprétation probabiliste associée à la fonction d'onde

Relation d'indétermination spatiale de Heisenberg

Quantification de l'énergie

Descriptions classique et quantique

Comportement corpusculaire de la lumière

Comportement ondulatoire de la matière

Relations de Planck-Einstein

Limites classiques

# Mécanique classique du point

# Mécanique classique du point

- ▶ on étudie des objets dont la position est mesurable à chaque instant

# Mécanique classique du point

- ▶ on étudie des objets dont la position est mesurable à chaque instant
- ▶ les lois de la mécanique régissent l'évolution de la position sous l'effet des actions extérieures à l'objet (forces) qui font varier la quantité de mouvement

# Mécanique classique du point

## Définition (Quantité de mouvement)

La quantité de mouvement, notée  $\vec{p}$  d'un objet de masse  $m$  et de vecteur vitesse  $\vec{v}$  est le produit :

$$\vec{p} = m \vec{v}$$

# Mécanique classique du point

## Définition (Quantité de mouvement)

La quantité de mouvement, notée  $\vec{p}$  d'un objet de masse  $m$  et de vecteur vitesse  $\vec{v}$  est le produit :

$$\vec{p} = m \vec{v}$$

# Mécanique classique du point

## Définition (Quantité de mouvement)

La quantité de mouvement, notée  $\vec{p}$  d'un objet de masse  $m$  et de vecteur vitesse  $\vec{v}$  est le produit :

$$\vec{p} = m \vec{v}$$

- ▶ pour un objet non ponctuel, on s'intéresse au **centre d'inertie** (cf. cours mécanique)

# Mécanique classique du point

## Définition (Quantité de mouvement)

La quantité de mouvement, notée  $\vec{p}$  d'un objet de masse  $m$  et de vecteur vitesse  $\vec{v}$  est le produit :

$$\vec{p} = m \vec{v}$$

- ▶ pour un objet non ponctuel, on s'intéresse au **centre d'inertie** (cf. cours mécanique)
- ▶ remarque : définition différente si  $v$  n'est pas négligeable devant  $c$

Introduction

**Dualité onde-particule pour la lumière et la matière**

Interprétation probabiliste associée à la fonction d'onde

Relation d'indétermination spatiale de Heisenberg

Quantification de l'énergie

**Descriptions classique et quantique**

Comportement corpusculaire de la lumière

Comportement ondulatoire de la matière

Relations de Planck-Einstein

Limites classiques

# Ondes en mécanique classique

# Ondes en mécanique classique

- ▶ vagues sur une cuve à ondes, ondes électromagnétiques, son ...

# Ondes en mécanique classique

- ▶ vagues sur une cuve à ondes, ondes électromagnétiques, son ...
- ▶ onde monochromatique caractérisée par la période  $T$ , la pulsation  $\omega$ , la vitesse  $c$ , la longueur d'onde  $\lambda = cT$

# Ondes en mécanique classique

## Définition (Vecteur d'onde)

On définit le vecteur d'onde, noté  $k$  associé à une onde monochromatique de longueur d'onde  $\lambda$  par :

$$k = \frac{2\pi}{\lambda}$$

La phase de l'excitation s'écrit alors  $\omega t - kx$ .

# Ondes en mécanique classique

## Définition (Vecteur d'onde)

On définit le vecteur d'onde, noté  $k$  associé à une onde monochromatique de longueur d'onde  $\lambda$  par :

$$k = \frac{2\pi}{\lambda}$$

La phase de l'excitation s'écrit alors  $\omega t - kx$ .

- ▶ pour une propagation à 2/3D, on utilise un **vrai vecteur** d'onde  $\vec{k}$  ; la phase en un point  $M$  s'écrit alors :

$$\omega t - \vec{k} \cdot \overrightarrow{OM}$$

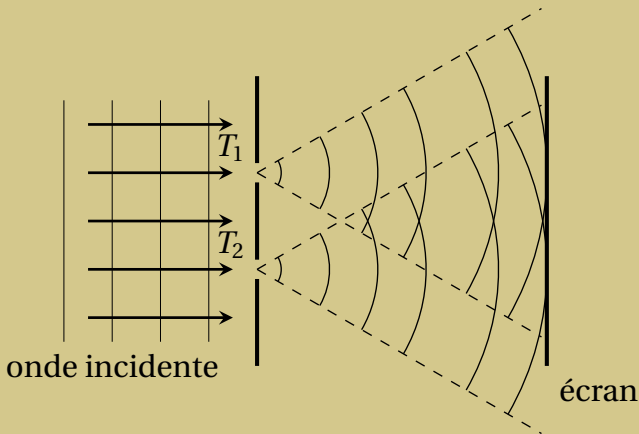
- ▶ le vecteur d'onde  $k$  est relié au **nombre d'ondes**  $\sigma$  :  $k = 2\pi\sigma$

# Interactions : entre particules

collisions entre points matériels au cours desquelles ils échangent de la quantité de mouvement  
(on peut montrer que le total reste constant)

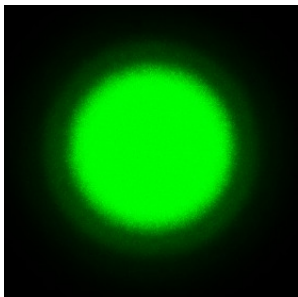
# Interactions entre ondes : interférences

## Exemple (Expérience des trous d'Young)



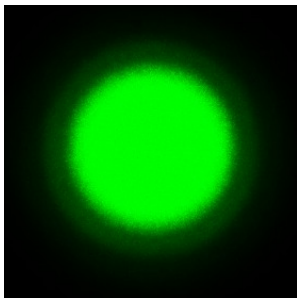
# Interactions entre ondes : interférences

## Un trou découvert

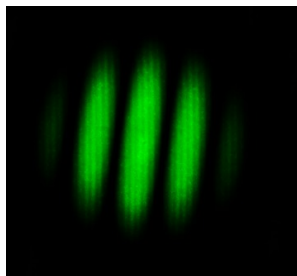


# Interactions entre ondes : interférences

Un trou découvert

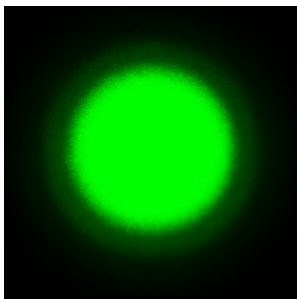


Deux trous découverts

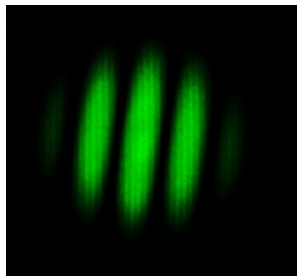


# Interactions entre ondes : interférences

## Un trou découvert



## Deux trous découverts



la somme de deux ondes non nulles peut donner un éclairement nul

Ces deux comportements sont en fait deux aspects de **tout** système physique

# 1. Dualité onde-particule pour la lumière et la matière

## 1.1 Descriptions classique et quantique

## 1.2 Comportement corpusculaire de la lumière

## 1.3 Comportement ondulatoire de la matière

## 1.4 Relations de Planck-Einstein

## 1.5 Limites classiques

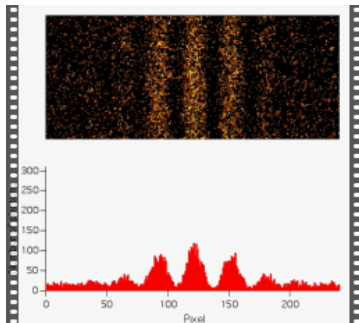
# 2. Interprétation probabiliste associée à la fonction d'onde

# 3. Relation d'indétermination spatiale de Heisenberg

# 4. Quantification de l'énergie

## « Impacts » de lumière

les détecteurs de lumière (CCD par exemple) réagissent à des « impact » successifs de « grains de lumière », qu'on peut visualiser avec une **source émettant des photons uniques** <sup>1</sup>



<sup>1</sup> Jean-Francois Roch, ENS de Cachan et Philippe Grangier, Institut d'Optique Graduate School

# Interprétation

- ▶ quand on diminue (beaucoup) l'intensité lumineuse

# Interprétation

- ▶ quand on diminue (beaucoup) l'intensité lumineuse
- ▶ on n'observe pas simplement une image identique moins intense

# Interprétation

- ▶ quand on diminue (beaucoup) l'intensité lumineuse
- ▶ on n'observe pas simplement une image identique moins intense

## Photon

Les échanges d'énergie entre matière et rayonnement se font par quantités discrètes. On nomme **photon** le quantum d'énergie d'un rayonnement électromagnétique.

## 1. Dualité onde-particule pour la lumière et la matière

1.1 Descriptions classique et quantique

1.2 Comportement corpusculaire de la lumière

**1.3 Comportement ondulatoire de la matière**

1.4 Relations de Planck-Einstein

1.5 Limites classiques

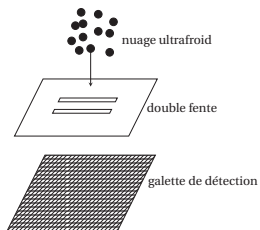
2. Interprétation probabiliste associée à la fonction d'onde

3. Relation d'indétermination spatiale de Heisenberg

4. Quantification de l'énergie

# Fentes d'Young avec des atomes

- ▶ on lâche des billes **macroscopiques** au dessus de deux fentes :  
on observe des impacts à la verticale des fentes
- ▶ on lâche des **atomes d'hélium métastable** ultra froids ( $\approx 2\text{ mK}$ )  
sont lâchés au-dessus d'une double fente (Shimizu et Shimizu  
1992)

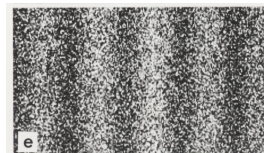


# Fentes d'Young avec des atomes

- ▶ on lâche des billes **macroscopiques** au dessus de deux fentes : on observe des impacts à la verticale des fentes
- ▶ on lâche des **atomes d'hélium métastable** ultra froids ( $\approx 2\text{ mK}$ ) sont lâchés au-dessus d'une double fente (Shimizu et Shimizu 1992)



avec une fente découverte



avec deux fentes découvertes

comment relier caractéristiques ondulatoires et particulières ?

## 1. Dualité onde-particule pour la lumière et la matière

### 1.1 Descriptions classique et quantique

### 1.2 Comportement corpusculaire de la lumière

### 1.3 Comportement ondulatoire de la matière

### 1.4 Relations de Planck-Einstein

### 1.5 Limites classiques

## 2. Interprétation probabiliste associée à la fonction d'onde

## 3. Relation d'indétermination spatiale de Heisenberg

## 4. Quantification de l'énergie

on doit trouver l'énergie et la quantité de mouvement associés au photon

# Énergie du photon

## Définition (Première relation de Planck-Einstein)

L'énergie d'un photon associé à une onde **monochromatique de fréquence  $\nu$**  (de pulsation  $\omega$ ) est :

$$E = h\nu = \hbar\omega$$

avec  $h = 6,62607015 \cdot 10^{-34} \text{ J}\cdot\text{s}$  la **constante de Planck** et  $\hbar = h/(2\pi) \simeq 1,05 \cdot 10^{-34} \text{ J}\cdot\text{s}$  la **constante de Planck réduite**.

# Énergie du photon

## Définition (Première relation de Planck-Einstein)

L'énergie d'un photon associé à une onde **monochromatique de fréquence  $\nu$**  (de pulsation  $\omega$ ) est :

$$E = h\nu = \hbar\omega$$

avec  $h = 6,62607015 \cdot 10^{-34}$  J·s la **constante de Planck** et  $\hbar = h/(2\pi) \simeq 1,05 \cdot 10^{-34}$  J·s la **constante de Planck réduite**.

- ▶ pour un photon **visible** :  $E \simeq 1 \cdot 10^{-19}$  J

# Énergie du photon

## Définition (Première relation de Planck-Einstein)

L'énergie d'un photon associé à une onde **monochromatique de fréquence  $\nu$**  (de pulsation  $\omega$ ) est :

$$E = h\nu = \hbar\omega$$

avec  $h = 6,62607015 \cdot 10^{-34} \text{ J}\cdot\text{s}$  la **constante de Planck** et  $\hbar = h/(2\pi) \simeq 1,05 \cdot 10^{-34} \text{ J}\cdot\text{s}$  la **constante de Planck réduite**.

- ▶ pour un photon **visible** :  $E \simeq 1 \cdot 10^{-19} \text{ J}$
- ▶ un photon **ultraviolet** est **plus énergétique** qu'un photon infrarouge

# Histoire

- ▶ la constante  $h$  a été introduite par Planck pour résoudre la catastrophe ultraviolette du « rayonnement du corps noir » : sans la quantification de l'énergie du rayonnement à l'aide de  $h$ , l'énergie émise par un objet du fait de sa température devrait être infinie **Rayonnement du corps noir**

# Histoire

- ▶ la constante  $h$  a été introduite par Planck pour résoudre la catastrophe ultraviolette du « rayonnement du corps noir » : sans la quantification de l'énergie du rayonnement à l'aide de  $h$ , l'énergie émise par un objet du fait de sa température devrait être infinie **Rayonnement du corps noir**
- ▶ **effet photoélectrique** (expliqué par Einstein 1905 en introduisant le photon)

# Histoire

- ▶ la constante  $h$  a été introduite par Planck pour résoudre la catastrophe ultraviolette du « rayonnement du corps noir » : sans la quantification de l'énergie du rayonnement à l'aide de  $h$ , l'énergie émise par un objet du fait de sa température devrait être infinie **Rayonnement du corps noir**
- ▶ **effet photoélectrique** (expliqué par Einstein 1905 en introduisant le photon)
  - ▶ **animation photoélectrique**

# Histoire

- ▶ la constante  $h$  a été introduite par Planck pour résoudre la catastrophe ultraviolette du « rayonnement du corps noir » : sans la quantification de l'énergie du rayonnement à l'aide de  $h$ , l'énergie émise par un objet du fait de sa température devrait être infinie **Rayonnement du corps noir**
- ▶ **effet photoélectrique** (expliqué par Einstein 1905 en introduisant le photon)
  - ▶ **animation photoélectrique**
  - ▶ un rayonnement électromagnétique peut arracher des électrons à un métal (UV)

# Histoire

- ▶ la constante  $h$  a été introduite par Planck pour résoudre la catastrophe ultraviolette du « rayonnement du corps noir » : sans la quantification de l'énergie du rayonnement à l'aide de  $h$ , l'énergie émise par un objet du fait de sa température devrait être infinie **Rayonnement du corps noir**
- ▶ **effet photoélectrique** (expliqué par Einstein 1905 en introduisant le photon)
  - ▶ **animation photoélectrique**
  - ▶ un rayonnement électromagnétique peut arracher des électrons à un métal (UV)
  - ▶ il faut une \*fréquence minimale et pas une intensité minimale pour l'observer

# Histoire

- ▶ la constante  $h$  a été introduite par Planck pour résoudre la catastrophe ultraviolette du « rayonnement du corps noir » : sans la quantification de l'énergie du rayonnement à l'aide de  $h$ , l'énergie émise par un objet du fait de sa température devrait être infinie **Rayonnement du corps noir**
- ▶ **effet photoélectrique** (expliqué par Einstein 1905 en introduisant le photon)
  - ▶ **animation photoélectrique**
  - ▶ un rayonnement électromagnétique peut arracher des électrons à un métal (UV)
  - ▶ il faut une \*fréquence minimale et pas une intensité minimale pour l'observer
  - ▶ c'est donc que le rayonnement apporte l'énergie par **quantités discrètes**, dont la plus faible est alors croissante avec la fréquence

# Quantité du mouvement du photon

## Définition (Deuxième relation de Planck-Einstein)

La **quantité de mouvement** d'un photon associé à une onde plane monochromatique de fréquence  $\nu$  et se propageant dans la direction  $\vec{e}_x$  est :

$$\vec{p} = \frac{h}{\lambda} \vec{e}_x = \frac{h\nu}{c} \vec{e}_x = \hbar \vec{k} \quad \text{avec : } \vec{k} \equiv \vec{e}_x \quad \text{et : } k \equiv \frac{2\pi}{\lambda}.$$

- ▶  $E$  proportionnelle à  $p$  pour le photon, mais pour une **particule massive libre**  $E = mv^2/2 = p^2/(2m)$  proportionnelle à  $p^2$
- ▶ ~~✗~~ un photon possède une quantité de mouvement et une énergie bien qu'il n'ait pas de masse
- ▶ la quantité de mouvement est vectorielle mais on ne s'intéressera qu'à des mouvements unidimensionnels

# Quantité du mouvement du photon

## Définition (Deuxième relation de Planck-Einstein)

La **quantité de mouvement** d'un photon associé à une onde plane monochromatique de fréquence  $\nu$  et se propageant dans la direction  $\vec{e}_x$  est :

$$\vec{p} = \frac{h}{\lambda} \vec{e}_x = \frac{h\nu}{c} \vec{e}_x = \hbar \vec{k} \quad \text{avec : } \vec{k} \equiv \vec{e}_x \quad \text{et : } k \equiv \frac{2\pi}{\lambda}.$$

- ▶  $E$  proportionnelle à  $p$  pour le photon, mais pour une **particule massive libre**  $E = mv^2/2 = p^2/(2m)$  proportionnelle à  $p^2$
- ▶ ~~✗~~ un photon possède une quantité de mouvement et une énergie bien qu'il n'ait pas de masse
- ▶ la quantité de mouvement est vectorielle mais on ne s'intéressera qu'à des mouvements unidimensionnels

# Quantité du mouvement du photon

## Définition (Deuxième relation de Planck-Einstein)

La **quantité de mouvement** d'un photon associé à une onde plane monochromatique de fréquence  $\nu$  et se propageant dans la direction  $\vec{e}_x$  est :

$$\vec{p} = \frac{h}{\lambda} \vec{e}_x = \frac{h\nu}{c} \vec{e}_x = \hbar \vec{k} \quad \text{avec : } \vec{k} \equiv \vec{e}_x \quad \text{et : } k \equiv \frac{2\pi}{\lambda}.$$

- ▶ **E proportionnelle à p pour le photon, mais pour une particule massive libre**  
 $E = mv^2/2 = p^2/(2m)$  **proportionnelle à p<sup>2</sup>**
- ▶ **☠ un photon possède une quantité de mouvement et une énergie bien qu'il n'ait pas de masse**
- ▶ la quantité de mouvement est vectorielle mais on ne s'intéressera qu'à des mouvements unidimensionnels
- ▶ **un photon ultraviolet a une plus grande quantité de mouvement qu'un photon infrarouge**
- ▶ pour un photon visible :  $p \approx 7 \cdot 10^{-27} \text{ kg} \cdot \text{m} \cdot \text{s}^{-1}$

# Quantité du mouvement du photon

## Définition (Deuxième relation de Planck-Einstein)

La **quantité de mouvement** d'un photon associé à une onde plane monochromatique de fréquence  $\nu$  et se propageant dans la direction  $\vec{e}_x$  est :

$$\vec{p} = \frac{h}{\lambda} \vec{e}_x = \frac{h\nu}{c} \vec{e}_x = \hbar \vec{k} \quad \text{avec : } \vec{k} \equiv \vec{e}_x \quad \text{et : } k \equiv \frac{2\pi}{\lambda}.$$

- ▶ **E proportionnelle à p pour le photon, mais pour une particule massive libre**  
 $E = mv^2/2 = p^2/(2m)$  **proportionnelle à p<sup>2</sup>**
- ▶ **☠ un photon possède une quantité de mouvement et une énergie bien qu'il n'ait pas de masse**
- ▶ la quantité de mouvement est vectorielle mais on ne s'intéressera qu'à des mouvements unidimensionnels
- ▶ **un photon ultraviolet a une plus grande quantité de mouvement qu'un photon infrarouge**
- ▶ pour un photon visible :  $p \approx 7 \cdot 10^{-27} \text{ kg} \cdot \text{m} \cdot \text{s}^{-1}$

# Position du photon ?

## ▶ onde monochromatique :

- ▶ ne doit pas avoir de limitation dans le temps ni dans l'espace : elle représente un flux de continu de photons
- ▶ densité de photons uniforme le long du faisceau

## ▶ paquet d'ondes :

- ▶ formé de plusieurs ondes de pulsations proches de  $\omega_0$  (dans un intervalle  $\Delta\omega$ )
- ▶ maximum local de densité d'énergie, qui se déplace
- ▶ ressemble davantage à une particule qui se déplace
- ▶ ☠ ce maximum se déplace à une vitesse strictement inférieure à  $c$  dite **vitesse de groupe** même si pour certaines pulsation la **vitesse de phase** des photons peut être  $> c$



<sup>2</sup>image par Kraaiennest sur

[http://en.wikipedia.org/wiki/Group\\_velocity](http://en.wikipedia.org/wiki/Group_velocity)

# Position du photon ?

## ▶ onde monochromatique :

- ▶ ne doit pas avoir de limitation dans le temps ni dans l'espace : elle représente un flux de continu de photons
- ▶ densité de photons uniforme le long du faisceau

## ▶ paquet d'ondes :

- ▶ formé de plusieurs ondes de pulsations proches de  $\omega_0$  (dans un intervalle  $\Delta\omega$ )
- ▶ maximum local de densité d'énergie, qui se déplace
- ▶ ressemble davantage à une particule qui se déplace
- ▶ ce maximum se déplace à une vitesse strictement inférieure à  $c$  dite **vitesse de groupe** même si pour certaines pulsation la **vitesse de phase** des photons peut être  $> c$

## Animation somme de deux sin

<sup>2</sup>image par Kraaiennest sur

[http://en.wikipedia.org/wiki/Group\\_velocity](http://en.wikipedia.org/wiki/Group_velocity)

# Position du photon ?

## ▶ onde monochromatique :

- ▶ ne doit pas avoir de limitation dans le temps ni dans l'espace : elle représente un flux continu de photons
- ▶ densité de photons uniforme le long du faisceau

## ▶ paquet d'ondes :

- ▶ formé de plusieurs ondes de pulsations proches de  $\omega_0$  (dans un intervalle  $\Delta\omega$ )
- ▶ maximum local de densité d'énergie, qui se déplace
- ▶ ressemble davantage à une particule qui se déplace
- ▶ 🦋 ce maximum se déplace à une vitesse strictement inférieure à  $c$  dite **vitesse de groupe** même si pour certaines pulsations la **vitesse de phase** des photons peut être  $> c$

## Animation construction d'un paquet d'ondes

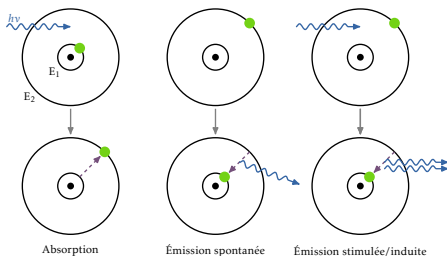
<sup>2</sup>image par Kraaiennest sur

[http://en.wikipedia.org/wiki/Group\\_velocity](http://en.wikipedia.org/wiki/Group_velocity)

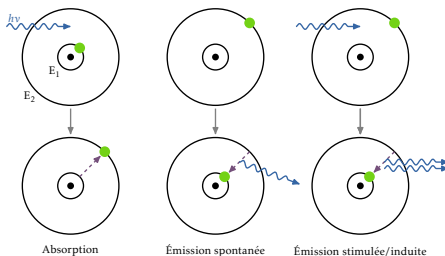
# Interactions atome - rayonnement : 3 processus

- ▶ un atome peut absorber un photon ou émettre un photon quand un de ses électrons **change de niveau d'énergie**
- ▶ son énergie et sa quantité de mouvement varient **de celles du photon**
  - ▶ les énergies interne et cinétique de l'atome changent
  - ▶ sa quantité de mouvement totale change

# Interactions atome - rayonnement : 3 processus

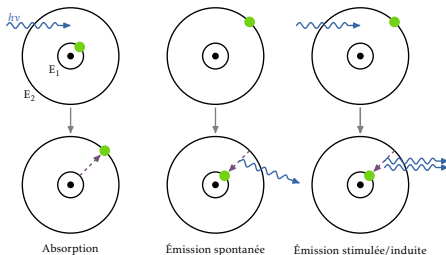


# Interactions atome - rayonnement : 3 processus



3 modes d'interaction :

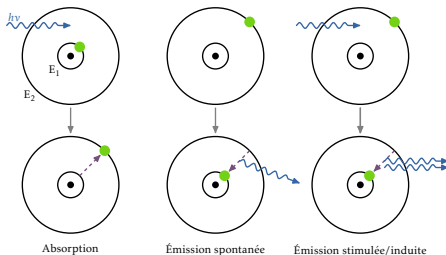
# Interactions atome - rayonnement : 3 processus



3 modes d'interaction :

- ▶ **absorption** : un atome au repos acquiert une vitesse dans le sens du photon incident

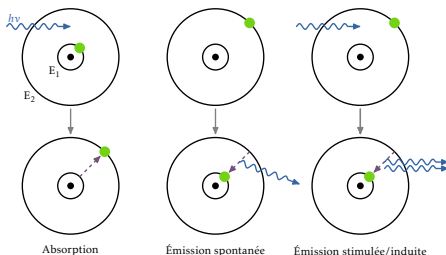
# Interactions atome - rayonnement : 3 processus



3 modes d'interaction :

- ▶ **absorption** : un atome au repos acquiert une vitesse dans le sens du photon incident
- ▶ **émission spontanée** : l'atome acquiert une quantité de mouvement opposée (effet de recul) opposée à celle du photon émis

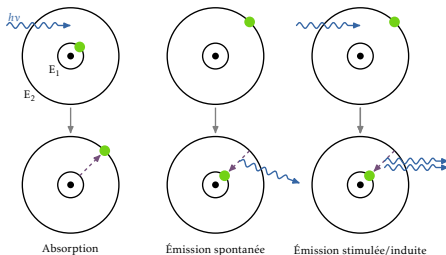
# Interactions atome - rayonnement : 3 processus



## 3 modes d'interaction :

- ▶ **absorption** : un atome au repos acquiert une vitesse dans le sens du photon incident
- ▶ **émission spontanée** : l'atome acquiert une quantité de mouvement opposée (effet de recul) opposée à celle du photon émis
- ▶ **émission induite/stimulée** : idem mais le photon émis a même fréquence, même direction et est en phase avec le photon induisant l'émission

# Interactions atome - rayonnement : 3 processus



## 3 modes d'interaction :

- ▶ **absorption** : un atome au repos acquiert une vitesse dans le sens du photon incident
- ▶ **émission spontanée** : l'atome acquiert une quantité de mouvement opposée (effet de recul) opposée à celle du photon émis
- ▶ **émission induite/stimulée** : idem mais le photon émis a même fréquence, même direction et est en phase avec le photon induisant l'émission
- ▶ en négligeant la variation d'énergie cinétique de l'atome, on a :  $h\nu = E_2 - E_1$  sur chaque processus

# Longueur d'onde associée à une particule massive

# Longueur d'onde associée à une particule massive

- ▶ pour expliquer les manips d'interférences atomiques, on attribue une longueur d'onde à un objet matériel

# Longueur d'onde associée à une particule massive

- ▶ pour expliquer les manips d'interférences atomiques, on attribue une longueur d'onde à un objet matériel
- ▶ pour un photon on a  $p = h/\lambda$  : on procède de la même manière pour une onde de matière

# Longueur d'onde associée à une particule massive

- ▶ pour expliquer les manips d'interférences atomiques, on attribue une longueur d'onde à un objet matériel
- ▶ pour un photon on a  $p = h/\lambda$  : on procède de la même manière pour une onde de matière

## Définition (Longueur d'onde de de Broglie)

On associe à un objet matériel de masse  $m$  et de vitesse de norme  $v$  la longueur d'onde dite **de de Broglie**  $\lambda_{dB}$  telle que :

$$\lambda_{dB} = \frac{h}{p} = \frac{h}{mv}.$$

# Longueur d'onde associée à une particule massive

## Définition (Longueur d'onde de de Broglie)

On associe à un objet matériel de masse  $m$  et de vitesse de norme  $v$  la longueur d'onde dite **de de Broglie**  $\lambda_{dB}$  telle que :

$$\lambda_{dB} = \frac{h}{p} = \frac{h}{mv}.$$

# Longueur d'onde associée à une particule massive

## Définition (Longueur d'onde de de Broglie)

On associe à un objet matériel de masse  $m$  et de vitesse de norme  $v$  la longueur d'onde dite **de de Broglie**  $\lambda_{dB}$  telle que :

$$\lambda_{dB} = \frac{h}{p} = \frac{h}{mv}.$$

- ▶ d'autant plus petite que  $p$  est élevée

# Longueur d'onde associée à une particule massive

## Définition (Longueur d'onde de de Broglie)

On associe à un objet matériel de masse  $m$  et de vitesse de norme  $v$  la longueur d'onde dite **de de Broglie**  $\lambda_{dB}$  telle que :

$$\lambda_{dB} = \frac{h}{p} = \frac{h}{mv}.$$

- ▶ d'autant plus petite que  $p$  est élevée
- ▶  $\lambda_{dB} \simeq 3 \cdot 10^{-11}$  m pour Na à  $600 \text{ m} \cdot \text{s}^{-1}$ , vitesse caractéristique à 300K

# Longueur d'onde associée à une particule massive

## Définition (Longueur d'onde de de Broglie)

On associe à un objet matériel de masse  $m$  et de vitesse de norme  $v$  la longueur d'onde dite **de de Broglie**  $\lambda_{dB}$  telle que :

$$\lambda_{dB} = \frac{h}{p} = \frac{h}{mv}.$$

- ▶ d'autant plus petite que  $p$  est élevée
- ▶  $\lambda_{dB} \simeq 3 \cdot 10^{-11}$  m pour Na à  $600 \text{ m} \cdot \text{s}^{-1}$ , vitesse caractéristique à 300K
- ▶ historiquement introduit (1924) par Louis de Broglie pour décrire l'interaction de l'électron avec le rayonnement quantifié par Einstein

# Longueur d'onde associée à une particule massive

## Définition (Longueur d'onde de de Broglie)

On associe à un objet matériel de masse  $m$  et de vitesse de norme  $v$  la longueur d'onde dite **de de Broglie**  $\lambda_{dB}$  telle que :

$$\lambda_{dB} = \frac{h}{p} = \frac{h}{mv}.$$

- ▶ d'autant plus petite que  $p$  est élevée
- ▶  $\lambda_{dB} \simeq 3 \cdot 10^{-11}$  m pour Na à  $600 \text{ m} \cdot \text{s}^{-1}$ , vitesse caractéristique à 300K
- ▶ historiquement introduit (1924) par Louis de Broglie pour décrire l'interaction de l'électron avec le rayonnement quantifié par Einstein
- ▶ reste valable dans le cadre des fonctions d'ondes de la mécanique quantique

# Paquet d'ondes de matière

## Animation paquet d'ondes

# Diffraction d'onde de matière : retour sur les interférences atomiques

- ▶ l'hélium à  $T \simeq 1 \text{ mK}$  :  $v \simeq \sqrt{3k_B T/m}$

# Diffraction d'onde de matière : retour sur les interférences atomiques

- ▶ l'hélium à  $T \simeq 1 \text{ mK}$  :  $v \simeq \sqrt{3k_B T/m}$

# Diffraction d'onde de matière : retour sur les interférences atomiques

- ▶ l'hélium à  $T \simeq 1 \text{ mK}$  :  $v \simeq \sqrt{3k_B T/m} \simeq 2 \text{ m} \cdot \text{s}^{-1}$  soit  $\lambda_{dB}$

# Diffraction d'onde de matière : retour sur les interférences atomiques

- ▶ l'hélium à  $T \simeq 1 \text{ mK}$  :  $v \simeq \sqrt{3k_B T/m} \simeq 2 \text{ m} \cdot \text{s}^{-1}$  soit  $\lambda_{dB}$   
 $== h/(mv) = 4 \cdot 10^{-8} \text{ m}$
- ▶ les fentes font  $2 \mu\text{m}$  et sont distantes de  $6 \mu\text{m}$

# Diffraction d'onde de matière : retour sur les interférences atomiques

- ▶ l'hélium à  $T \simeq 1 \text{ mK}$  :  $v \simeq \sqrt{3k_B T/m} \simeq 2 \text{ m} \cdot \text{s}^{-1}$  soit  $\lambda_{dB} = h/(mv) = 4 \cdot 10^{-8} \text{ m}$
- ▶ les fentes font  $2 \mu\text{m}$  et sont distantes de  $6 \mu\text{m}$
- ▶ condition de diffraction/interférences

# Diffraction d'onde de matière : retour sur les interférences atomiques

- ▶ l'hélium à  $T \simeq 1 \text{ mK}$  :  $v \simeq \sqrt{3k_B T/m} \simeq 2 \text{ m} \cdot \text{s}^{-1}$  soit  $\lambda_{dB} = h/(mv) = 4 \cdot 10^{-8} \text{ m}$
- ▶ les fentes font  $2 \mu\text{m}$  et sont distantes de  $6 \mu\text{m}$
- ▶ condition de diffraction/interférences
  - ▶ la diffraction se manifeste quand les tailles ne sont pas très grandes devant  $\lambda$

# Diffraction d'onde de matière : retour sur les interférences atomiques

- ▶ l'hélium à  $T \simeq 1 \text{ mK}$  :  $v \simeq \sqrt{3k_B T/m} \simeq 2 \text{ m} \cdot \text{s}^{-1}$  soit  $\lambda_{dB}$   
 $== h/(mv) = 4 \cdot 10^{-8} \text{ m}$
- ▶ les fentes font  $2 \mu\text{m}$  et sont distantes de  $6 \mu\text{m}$
- ▶ condition de diffraction/interférences
  - ▶ la diffraction se manifeste quand les tailles ne sont pas très grandes devant  $\lambda$
  - ▶ les interférences nécessitent que la différence de trajet soit de l'ordre de  $\lambda$

# Diffraction d'onde de matière : retour sur les interférences atomiques

- ▶ l'hélium à  $T \simeq 1 \text{ mK}$  :  $v \simeq \sqrt{3k_B T/m} \simeq 2 \text{ m} \cdot \text{s}^{-1}$  soit  $\lambda_{dB} = h/(mv) = 4 \cdot 10^{-8} \text{ m}$
- ▶ les fentes font  $2 \mu\text{m}$  et sont distantes de  $6 \mu\text{m}$
- ▶ condition de diffraction/interférences
  - ▶ la diffraction se manifeste quand les tailles ne sont pas très grandes devant  $\lambda$
  - ▶ les interférences nécessitent que la différence de trajet soit de l'ordre de  $\lambda$
  - ▶ ici les dimensions sont grandes devant  $\lambda$  mais pas trop : on peut observer diffraction et interférence

# Diffraction d'onde de matière : retour sur les interférences atomiques

- ▶ l'hélium à  $T \simeq 1 \text{ mK}$  :  $v \simeq \sqrt{3k_B T/m} \simeq 2 \text{ m} \cdot \text{s}^{-1}$  soit  $\lambda_{dB}$   
 $== h/(mv) = 4 \cdot 10^{-8} \text{ m}$
- ▶ les fentes font  $2 \mu\text{m}$  et sont distantes de  $6 \mu\text{m}$
- ▶ condition de diffraction/interférences
  - ▶ la diffraction se manifeste quand les tailles ne sont pas très grandes devant  $\lambda$
  - ▶ les interférences nécessitent que la différence de trajet soit de l'ordre de  $\lambda$
  - ▶ ici les dimensions sont grandes devant  $\lambda$  mais pas trop : on peut observer diffraction et interférence
  - ▶ les angles sont quand même faibles : il faut observer loin ( $\simeq 10 \text{ cm}$ ) pour distinguer l'interfrange

## Animation Wave interference

comme pour les interférences de photons uniques, on observe une onde qui :

- ▶ se diffracte
- ▶ donne naissance à une figure d'interférences
- ▶ jusqu'à sa détection où elle « devient localisée »

# Énergie d'une onde de de Broglie (HP)

- ▶ en mécanique classique :  $\mathcal{E}_c = \frac{mv^2}{2} = \frac{p^2}{2m}$
- ▶ on peut donc relier la **pulsation** de l'onde de matière au vecteur d'onde

# Énergie d'une onde de de Broglie (HP)

- ▶ en mécanique classique :  $\mathcal{E}_c = \frac{mv^2}{2} = \frac{p^2}{2m}$
- ▶ on peut donc relier la **pulsation** de l'onde de matière au vecteur d'onde

## Énergie d'une onde de de Broglie

L'énergie associée à un quantum d'onde de matière de quantité de mouvement  $p$  est, pour des particules **libres** de masse  $m$  :

$$E = \hbar\omega = \frac{p^2}{2m} = \frac{\hbar^2 k^2}{2m}.$$

# Énergie d'une onde de de Broglie (HP)

- ▶ en mécanique classique :  $\mathcal{E}_c = \frac{mv^2}{2} = \frac{p^2}{2m}$
- ▶ on peut donc relier la **pulsation** de l'onde de matière au vecteur d'onde

## Énergie d'une onde de de Broglie

L'énergie associée à un quantum d'onde de matière de quantité de mouvement  $p$  est, pour des particules **libres** de masse  $m$  :

$$E = \hbar\omega = \frac{p^2}{2m} = \frac{\hbar^2 k^2}{2m}.$$

- ▶ particule **libre** : sans interaction avec l'extérieur
- ▶  on n'a pas  $\omega/k = cste$  comme pour les photons : la célérité d'une onde de matière dépend **toujours** de la longueur d'onde
- ▶ la célérité des ondes est croissante avec  $k$

## 1. Dualité onde-particule pour la lumière et la matière

### 1.1 Descriptions classique et quantique

### 1.2 Comportement corpusculaire de la lumière

### 1.3 Comportement ondulatoire de la matière

### 1.4 Relations de Planck-Einstein

### 1.5 Limites classiques

## 2. Interprétation probabiliste associée à la fonction d'onde

## 3. Relation d'indétermination spatiale de Heisenberg

## 4. Quantification de l'énergie

la manifestation des effets quantiques va dépendre de  $\lambda$  et d'une taille caractéristique  $a$  des phénomènes observés (une fente par exemple)

- ▶ lumière en optique classique

la manifestation des effets quantiques va dépendre de  $\lambda$  et d'une taille caractéristique  $a$  des phénomènes observés (une fente par exemple)

- ▶ lumière en optique classique
  - ▶ rayon lumineux pour  $\lambda \ll a$

la manifestation des effets quantiques va dépendre de  $\lambda$  et d'une taille caractéristique  $a$  des phénomènes observés (une fente par exemple)

- ▶ lumière en optique classique
  - ▶ rayon lumineux pour  $\lambda \ll a$
  - ▶ onde lumineuse sinon

la manifestation des effets quantiques va dépendre de  $\lambda$  et d'une taille caractéristique  $a$  des phénomènes observés (une fente par exemple)

- ▶ lumière en optique classique
  - ▶ rayon lumineux pour  $\lambda \ll a$
  - ▶ onde lumineuse sinon
- ▶ de même pour la matière

la manifestation des effets quantiques va dépendre de  $\lambda$  et d'une taille caractéristique  $a$  des phénomènes observés (une fente par exemple)

- ▶ lumière en optique classique
  - ▶ rayon lumineux pour  $\lambda \ll a$
  - ▶ onde lumineuse sinon
- ▶ de même pour la matière
  - ▶ particules pour  $\lambda_{dB} \ll a$  (ie  $\hbar \rightarrow 0$ )

la manifestation des effets quantiques va dépendre de  $\lambda$  et d'une taille caractéristique  $a$  des phénomènes observés (une fente par exemple)

- ▶ lumière en optique classique
  - ▶ rayon lumineux pour  $\lambda \ll a$
  - ▶ onde lumineuse sinon
- ▶ de même pour la matière
  - ▶ particules pour  $\lambda_{dB} \ll a$  (ie  $\hbar \rightarrow 0$ )
  - ▶ onde de matière sinon

la manifestation des effets quantiques va dépendre de  $\lambda$  et d'une taille caractéristique  $a$  des phénomènes observés (une fente par exemple)

- ▶ lumière en optique classique
  - ▶ rayon lumineux pour  $\lambda \ll a$
  - ▶ onde lumineuse sinon
- ▶ de même pour la matière
  - ▶ particules pour  $\lambda_{dB} \ll a$  (ie  $\hbar \rightarrow 0$ )
  - ▶ onde de matière sinon

la manifestation des effets quantiques va dépendre de  $\lambda$  et d'une taille caractéristique  $a$  des phénomènes observés (une fente par exemple)

- ▶ lumière en optique classique
  - ▶ rayon lumineux pour  $\lambda \ll a$
  - ▶ onde lumineuse sinon
- ▶ de même pour la matière
  - ▶ particules pour  $\lambda_{dB} \ll a$  (ie  $\hbar \rightarrow 0$ )
  - ▶ onde de matière sinon
- ▶ comportement particulière de lumière observé quand les énergies échangées sont de l'ordre de  $\hbar\omega$

la manifestation des effets quantiques va dépendre de  $\lambda$  et d'une taille caractéristique  $a$  des phénomènes observés (une fente par exemple)

- ▶ lumière en optique classique
  - ▶ rayon lumineux pour  $\lambda \ll a$
  - ▶ onde lumineuse sinon
- ▶ de même pour la matière
  - ▶ particules pour  $\lambda_{dB} \ll a$  (ie  $\hbar \rightarrow 0$ )
  - ▶ onde de matière sinon
- ▶ comportement particulière de lumière observé quand les énergies échangées sont de l'ordre de  $\hbar\omega$
- ▶ flux lumineux continu sinon

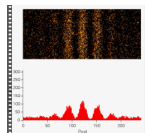
la manifestation des effets quantiques va dépendre de  $\lambda$  et d'une taille caractéristique  $a$  des phénomènes observés (une fente par exemple)

- ▶ lumière en optique classique
  - ▶ rayon lumineux pour  $\lambda \ll a$
  - ▶ onde lumineuse sinon
- ▶ de même pour la matière
  - ▶ particules pour  $\lambda_{dB} \ll a$  (ie  $\hbar \rightarrow 0$ )
  - ▶ onde de matière sinon
- ▶ comportement particulière de lumière observé quand les énergies échangées sont de l'ordre de  $\hbar\omega$
- ▶ flux lumineux continu sinon
- ▶ on parlera de **quanton** pour tout objet quantique (photon, particule massive) régie par la physique quantique

1. Dualité onde-particule pour la lumière et la matière
2. Interprétation probabiliste associée à la fonction d'onde
3. Relation d'indétermination spatiale de Heisenberg
4. Quantification de l'énergie

1. Dualité onde-particule pour la lumière et la matière
2. Interprétation probabiliste associée à la fonction d'onde
  - 2.1 Probabilité et amplitude de probabilité
  - 2.2 Interférences d'amplitudes de probabilité
3. Relation d'indétermination spatiale de Heisenberg
4. Quantification de l'énergie

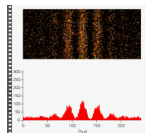
# Un quanton vs beaucoup



expérience de photons uniques

- ▶ la position du premier photon n'est pas prévisible (aléatoire)

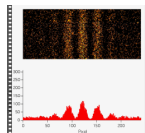
# Un quanton vs beaucoup



expérience de photons uniques

- ▶ la position du premier photon n'est pas prévisible (aléatoire)
- ▶ la position de chaque photon est aléatoire

# Un quanton vs beaucoup

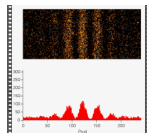


expérience de photons uniques

- ▶ la position du premier photon n'est pas prévisible (aléatoire)
- ▶ la position de chaque photon est aléatoire
- ▶ ☠ aléatoire ne veut pas dire qu'il peut arriver n'importe où



# Un quanton vs beaucoup



expérience de photons uniques

- ▶ la position du premier photon n'est pas prévisible (aléatoire)
- ▶ la position de chaque photon est aléatoire
- ▶ ☠ aléatoire ne veut pas dire qu'il peut arriver n'importe où
- ▶ la figure d'interférence ou de diffraction est toujours la même
- ▶ chaque photon a une certaine probabilité  $P(x)$  d'arriver à la position  $x$  sur l'écran (une densité de probabilité d'arriver au voisinage de  $x$  plus précisément)

# Interprétation

## Loi de probabilité

Le point d'impact de chaque photon obéit à une loi de probabilité que l'observation d'un grand nombre de photons permet de déterminer.

# Interprétation

## Loi de probabilité

Le point d'impact de chaque photon obéit à une loi de probabilité que l'observation d'un grand nombre de photons permet de déterminer.

- ▶ analogue au problème de la détermination de l'incertitude statistique en renouvelant un grand nombre de mesures d'une grandeur classique

# Interprétation

## Loi de probabilité

Le point d'impact de chaque photon obéit à une loi de probabilité que l'observation d'un grand nombre de photons permet de déterminer.

- ▶ analogue au problème de la détermination de l'incertitude statistique en renouvelant un grand nombre de mesures d'une grandeur classique
  - ▶ le résultat d'une mesure est aléatoire

# Interprétation

## Loi de probabilité

Le point d'impact de chaque photon obéit à une loi de probabilité que l'observation d'un grand nombre de photons permet de déterminer.

- ▶ analogue au problème de la détermination de l'incertitude statistique en renouvelant un grand nombre de mesures d'une grandeur classique
  - ▶ le résultat d'une mesure est aléatoire
  - ▶ un grand nombre de mesures permet de déterminer la loi de probabilité (moyenne et écart type entre autres)

# Interprétation

## Loi de probabilité

Le point d'impact de chaque photon obéit à une loi de probabilité que l'observation d'un grand nombre de photons permet de déterminer.

- ▶ analogue au problème de la détermination de l'incertitude statistique en renouvelant un grand nombre de mesures d'une grandeur classique
  - ▶ le résultat d'une mesure est aléatoire
  - ▶ un grand nombre de mesures permet de déterminer la loi de probabilité (moyenne et écart type entre autres)
- ▶ ici  $P(x)$  dépend entre autres de la géométrie de l'obstacle et de la longueur d'onde de de Broglie

# Simulation numérique

# Fonction d'onde

# Fonction d'onde

- ▶ expériences d'interférences : deux chemins pour arriver à un endroit peuvent conduire à une probabilité nulle en un point où elle est non nulle quand il n'y a qu'un seul chemin

# Fonction d'onde

- ▶ expériences d'interférences : deux chemins pour arriver à un endroit peuvent conduire à une probabilité nulle en un point où elle est non nulle quand il n'y a qu'un seul chemin
- ▶ la probabilité d'être en un point ne contient pas toute l'information sur l'état du système

# Fonction d'onde

## Définition (Fonction d'onde)

La répartition spatiale d'un quanton est décrite en physique quantique par une **fonction d'onde**  $\Psi(M, t)$  que l'on peut évaluer en tout point  $M$  et à chaque instant  $t$ .

# Fonction d'onde

## Définition (Fonction d'onde)

La répartition spatiale d'un quanton est décrite en physique quantique par une **fonction d'onde**  $\Psi(M, t)$  que l'on peut évaluer en tout point  $M$  et à chaque instant  $t$ .

# Fonction d'onde

## Définition (Fonction d'onde)

La répartition spatiale d'un quanton est décrite en physique quantique par une **fonction d'onde**  $\Psi(M, t)$  que l'on peut évaluer en tout point  $M$  et à chaque instant  $t$ .

- ▶  $\Psi(x, t)$  est fondamentalement complexe mais pas essentiel pour nous : seul le fait qu'elle puisse être négative importe

# Fonction d'onde

## Définition (Fonction d'onde)

La répartition spatiale d'un quanton est décrite en physique quantique par une **fonction d'onde**  $\Psi(M, t)$  que l'on peut évaluer en tout point  $M$  et à chaque instant  $t$ .

- ▶  $\Psi(x, t)$  est fondamentalement complexe mais pas essentiel pour nous : seul le fait qu'elle puisse être négative importe
- ▶  $\Psi$  est un cas particulier d'**amplitude de probabilité** : l'amplitude de probabilité de présence

# Fonction d'onde

## Définition (Fonction d'onde)

La répartition spatiale d'un quanton est décrite en physique quantique par une **fonction d'onde**  $\Psi(M, t)$  que l'on peut évaluer en tout point  $M$  et à chaque instant  $t$ .

- ▶  $\Psi(x, t)$  est fondamentalement complexe mais pas essentiel pour nous : seul le fait qu'elle puisse être négative importe
- ▶  $\Psi$  est un cas particulier d'**amplitude de probabilité** : l'amplitude de probabilité de présence
- ▶ on peut aussi avoir des amplitudes de probabilité de quantité de mouvement, d'état de spin...

# Fonction d'onde

## Définition (Fonction d'onde)

La répartition spatiale d'un quanton est décrite en physique quantique par une **fonction d'onde**  $\Psi(M, t)$  que l'on peut évaluer en tout point  $M$  et à chaque instant  $t$ .

# Lien avec la probabilité de présence

## Probabilité de présence

La **probabilité**  $P(M, t)$  qu'une mesure de position d'un objet de fonction d'onde  $\Psi(M, t)$  donne, à l'instant  $t$  la position  $M$  est proportionnelle au **module au carré de**  $\Psi(M, t)$  :  $P(M, t) \propto |\Psi(M, t)|^2$

# Lien avec la probabilité de présence

## Probabilité de présence

La **probabilité**  $P(M, t)$  qu'une mesure de position d'un objet de fonction d'onde  $\Psi(M, t)$  donne, à l'instant  $t$  la position  $M$  est proportionnelle au **module au carré de  $\Psi(M, t)$**  :  $P(M, t) \propto |\Psi(M, t)|^2$

- ▶ facteur de proportionnalité de normalisation car  $|\Psi|^2$  est une densité de probabilité, homogène à  $1/m^2$  (à 1D)

# Lien avec la probabilité de présence

## Probabilité de présence

La **probabilité**  $P(M, t)$  qu'une mesure de position d'un objet de fonction d'onde  $\Psi(M, t)$  donne, à l'instant  $t$  la position  $M$  est proportionnelle au **module au carré de  $\Psi(M, t)$**  :  $P(M, t) \propto |\Psi(M, t)|^2$

- ▶ facteur de proportionnalité de normalisation car  $|\Psi|^2$  est une densité de probabilité, homogène à  $1/m^2$  (à 1D)
- ▶ aucune importance car seules les **variations** avec  $x$  importent

# Exemples de fonctions d'ondes (HP)

- ▶ on présente deux exemples fondamentaux
- ▶ pouvant décrire aussi bien un photon qu'une particule massive

# Exemples de fonctions d'ondes (HP)

## Définition (Onde plane monochromatique)

Une onde plane monochromatique unidimensionnelle de quantité de mouvement  $\hbar k \vec{e}_x$  est décrite par la fonction d'onde :

$$\Psi(x) \propto e^{ikx}$$

# Exemples de fonctions d'ondes (HP)

## Définition (Onde plane monochromatique)

Une onde plane monochromatique unidimensionnelle de quantité de mouvement  $\hbar k \vec{e}_x$  est décrite par la fonction d'onde :

$$\Psi(x) \propto e^{ikx}$$

- ▶  $|e^{ikx}|^2 = 1$  indépendant de  $x$  : délocalisation totale dans tout l'espace
- ▶ problème  $\int |\Psi(x)|^2 dx$  diverge alors qu'on devrait avoir  $\int |\Psi(x)|^2 dx = 1$  : probabilité d'être trouvé quelque part

# Exemples de fonctions d'ondes (HP)

## Définition (Paquet d'ondes gaussien)

Un exemple de paquet d'ondes gaussien unidimensionnel de quantité de **centre**  $x_0$ , de quantité de mouvement  $\hbar k_0$  et de **largeur**  $\Delta x$  est donné par la fonction d'onde :

$$\Psi(x) = \frac{1}{(2\pi\Delta x^2)^{1/4}} e^{ik_0 x} e^{-(x-x_0)^2/(4\Delta x^2)}$$

La largeur  $\Delta x$  est l'**indétermination** sur la position du quanton.

# Exemples de fonctions d'ondes (HP)

## Définition (Paquet d'ondes gaussien)

Un exemple de paquet d'ondes gaussien unidimensionnel de quantité de **centre**  $x_0$ , de quantité de mouvement  $\hbar k_0$  et de **largeur**  $\Delta x$  est donné par la fonction d'onde :

$$\Psi(x) = \frac{1}{(2\pi\Delta x^2)^{1/4}} e^{ik_0x} e^{-(x-x_0)^2/(4\Delta x^2)}$$

La largeur  $\Delta x$  est l'**indétermination** sur la position du quanton.

- ▶ localisée sur une largeur  $\propto \Delta x$  qui est liée à la largeur de la distribution statistique des mesures de la position
- ▶ ici on a bien  $\int |\Psi(x)|^2 dx = 1$
- ▶ on peut montrer (équation de Schrödinger) que le centre se déplace selon  $\vec{e}_x$ 
  - ▶ à  $\hbar k_0/m$  pour une particule massive, avec  $\Delta x$  qui s'accroît avec le temps, d'autant plus vite que  $\Delta x$  est initialement petit
  - ▶ à  $c$  pour un photon sans que  $\Delta x$  ne change

# Exemples de fonctions d'ondes (HP)

## Définition (Paquet d'ondes gaussien)

Un exemple de paquet d'ondes gaussien unidimensionnel de quantité de **centre**  $x_0$ , de quantité de mouvement  $\hbar k_0$  et de **largeur**  $\Delta x$  est donné par la fonction d'onde :

$$\Psi(x) = \frac{1}{(2\pi\Delta x^2)^{1/4}} e^{ik_0x} e^{-(x-x_0)^2/(4\Delta x^2)}$$

La largeur  $\Delta x$  est l'**indétermination** sur la position du quanton.

- ▶ localisée sur une largeur  $\propto \Delta x$  qui est liée à la largeur de la distribution statistique des mesures de la position
- ▶ ici on a bien  $\int |\Psi(x)|^2 dx = 1$
- ▶ on peut montrer (équation de Schrödinger) que le centre se déplace selon  $\vec{e}_x$ 
  - ▶ à  $\hbar k_0/m$  pour une particule massive, avec  $\Delta x$  qui s'accroît avec le temps, d'autant plus vite que  $\Delta x$  est initialement petit
  - ▶ à  $c$  pour un photon sans que  $\Delta x$  ne change

1. Dualité onde-particule pour la lumière et la matière

**2. Interprétation probabiliste associée à la fonction d'onde**

2.1 Probabilité et amplitude de probabilité

**2.2 Interférences d'amplitudes de probabilité**

3. Relation d'indétermination spatiale de Heisenberg

4. Quantification de l'énergie

# Cas des fentes d'Young

- ▶ les fentes sont très longues selon  $y$  donc le problème est indépendant de  $y$  : 1D selon  $x$

# Cas des fentes d'Young

- ▶ les fentes sont très longues selon  $y$  donc le problème est indépendant de  $y$  : 1D selon  $x$
- ▶ flux de particules indépendant de  $t$

# Cas des fentes d'Young

- ▶ les fentes sont très longues selon  $y$  donc le problème est indépendant de  $y$  : 1D selon  $x$
- ▶ flux de particules indépendant de  $t$
- ▶ finalement l'amplitude de probabilité ne dépend que de  $x$  : on a  $\Psi(x)$

# Interférences

- ▶ fente 2 fermée : on note  $\Psi_1(x)$  l'amplitude de probabilité sur l'écran correspondante

# Interférences

- ▶ fente 2 fermée : on note  $\Psi_1(x)$  l'amplitude de probabilité sur l'écran correspondante
- ▶ fente 1 fermée :  $\Psi_2(x)$  sur l'écran

# Interférences

- ▶ fente 2 fermée : on note  $\Psi_1(x)$  l'amplitude de probabilité sur l'écran correspondante
- ▶ fente 1 fermée :  $\Psi_2(x)$  sur l'écran
- ▶ les deux ouvertes :  $\Psi(x) \propto \Psi_1(x) + \Psi_2(x)$

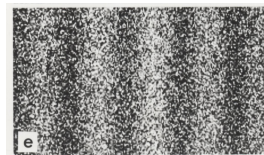
# Interférences

- ▶ fente 2 fermée : on note  $\Psi_1(x)$  l'amplitude de probabilité sur l'écran correspondante
- ▶ fente 1 fermée :  $\Psi_2(x)$  sur l'écran
- ▶ les deux ouvertes :  $\Psi(x) \propto \Psi_1(x) + \Psi_2(x)$
- ▶ la densité de probabilité de détecter une particule en  $x$  est donc proportionnelle à :  
$$|\Psi_1(x) + \Psi_2(x)|^2 = |\Psi_1(x)|^2 + |\Psi_2(x)|^2 + 2 \operatorname{Re} \left( \overline{\Psi_1(x)} \Psi_2(x) \right)$$
 différente de la somme des probabilités : terme **d'interférences**

# Photos



une fente découverte



deux fentes découvertes

# Conditions d'interférences

Animation en ondes  
Animation en phases

# Intervention de $\lambda_{dB}$

- ▶ **interférences classiques** : amplitudes en  $\cos(\omega t - kr)$  pour chaque amplitude (en phase à  $t = 0$  sur les fentes pour alléger)

# Intervention de $\lambda_{dB}$

- ▶ **interférences classiques** : amplitudes en  $\cos(\omega t - kr)$  pour chaque amplitude (en phase à  $t = 0$  sur les fentes pour alléger)
  - ▶ interférences constructives pour  $kr_1 = kr_2 \pmod{2\pi}$

# Intervention de $\lambda_{dB}$

- ▶ **interférences classiques** : amplitudes en  $\cos(\omega t - kr)$  pour chaque amplitude (en phase à  $t = 0$  sur les fentes pour alléger)
  - ▶ interférences constructives pour  $kr_1 = kr_2 \pmod{2\pi}$
  - ▶ destructives pour  $kr_1 = kr_2 + \pi \pmod{2\pi}$

# Intervention de $\lambda_{dB}$

- ▶ **interférences classiques** : amplitudes en  $\cos(\omega t - kr)$  pour chaque amplitude (en phase à  $t = 0$  sur les fentes pour alléger)
  - ▶ interférences constructives pour  $kr_1 = kr_2 \pmod{2\pi}$
  - ▶ destructives pour  $kr_1 = kr_2 + \pi \pmod{2\pi}$
- ▶ **interférences quantiques** : amplitudes en  $e^{i(\omega t - kr)}$

## Intervention de $\lambda_{dB}$

- ▶ **interférences classiques** : amplitudes en  $\cos(\omega t - kr)$  pour chaque amplitude (en phase à  $t = 0$  sur les fentes pour alléger)
  - ▶ interférences constructives pour  $kr_1 = kr_2 \pmod{2\pi}$
  - ▶ destructives pour  $kr_1 = kr_2 + \pi \pmod{2\pi}$
- ▶ **interférences quantiques** : amplitudes en  $e^{i(\omega t - kr)}$
- ▶ les conditions d'interférences constructives ou destructives sont les mêmes

# Intervention de $\lambda_{dB}$

- ▶ **interférences classiques** : amplitudes en  $\cos(\omega t - kr)$  pour chaque amplitude (en phase à  $t = 0$  sur les fentes pour alléger)
  - ▶ interférences constructives pour  $kr_1 = kr_2 \pmod{2\pi}$
  - ▶ destructives pour  $kr_1 = kr_2 + \pi \pmod{2\pi}$
- ▶ **interférences quantiques** : amplitudes en  $e^{i(\omega t - kr)}$
- ▶ les conditions d'interférences constructives ou destructives sont les mêmes
- ▶ on n'aura pas besoin d'utiliser explicitement l'expression complexe

# Généralisation

on admet que pour toute amplitude de probabilité :

# Généralisation

on admet que pour toute amplitude de probabilité :

## Interférences entre amplitudes de probabilité

On considère un objet pouvant emprunter, classiquement, plusieurs chemins  $\{i = 1..N\}$  pour parvenir à un état final. On détermine, pour chaque chemin, les **amplitudes de probabilité** de parvenir à l'état quand seul ce chemin est possible.

L'amplitude de probabilité de parvenir à l'état final donné :

- ▶ quand tous les chemins sont possibles,
- ▶ et qu'on ne réalise pas de mesure du chemin suivi au cours de l'évolution,

est proportionnelle à la **somme des amplitudes individuelles**.

# Généralisation

- ▶ pour  $N = 2$  et des fonctions d'ondes :  $\Psi \propto \Psi_1 + \Psi_2$  et la densité de probabilité  $P \propto |\Psi_1 + \Psi_2|^2$
- ▶ on somme les amplitudes, pas les densités de probabilité
- ▶ 🧑 à l'issue d'une mesure du chemin suivi (détection dans une des fentes), la fonction d'onde est celle correspondant à un passage par la fente détectée et non plus celle correspondant à un passage par les deux
- ▶ Animation paquet d'ondes : mesure quantique

## Exemple de calcul

- ▶ on considère deux sources **fixes** distantes de  $2a$  observées à une distance  $D$ , on note  $M$  le point d'observation **variable**

## Exemple de calcul

- ▶ on considère deux sources **fixes** distantes de  $2a$  observées à une distance  $D$ , on note  $M$  le point d'observation **variable**
- ▶ on a  $r_{1,2} = \|\overrightarrow{S_{1,2}M}\|$

## Exemple de calcul

- ▶ on considère deux sources **fixes** distantes de  $2a$  observées à une distance  $D$ , on note  $M$  le point d'observation **variable**
- ▶ on a  $r_{1,2} = \|\overrightarrow{S_{1,2}M}\|$
- ▶ on exprime

$$\Delta\varphi \equiv kr_2 - kr_1 = k \frac{r_2^2 - r_1^2}{r_1 + r_2}$$

et :

$$\begin{aligned} r_2^2 - r_1^2 &= (\overrightarrow{S_1M} + \overrightarrow{S_2M}) \cdot (\overrightarrow{S_2M} - \overrightarrow{S_1M}) \\ &= 2\overrightarrow{OM} \cdot \overrightarrow{S_2S_1} \end{aligned}$$

## Exemple de calcul

- ▶ on considère deux sources **fixes** distantes de  $2a$  observées à une distance  $D$ , on note  $M$  le point d'observation **variable**
- ▶ on a  $r_{1,2} = \|\overrightarrow{S_{1,2}M}\|$
- ▶ on exprime

$$\Delta\varphi \equiv kr_2 - kr_1 = k \frac{r_2^2 - r_1^2}{r_1 + r_2}$$

et :

$$\begin{aligned} r_2^2 - r_1^2 &= (\overrightarrow{S_1M} + \overrightarrow{S_2M}) \cdot (\overrightarrow{S_2M} - \overrightarrow{S_1M}) \\ &= 2\overrightarrow{OM} \cdot \overrightarrow{S_2S_1} \end{aligned}$$

- ▶ pour un angle  $(\widehat{r_2; r_1})$  faible, (ie  $D \gg a, x$ ) :  $r_1 \simeq r_2 = D$  et  
 $\Delta\varphi \simeq 2kax/D = 4\pi ax/(D\lambda_{dB})$  : l'interfrange est  $i = \lambda_{dB}D/(2a)$

## Exemple de calcul

- ▶ on considère deux sources **fixes** distantes de  $2a$  observées à une distance  $D$ , on note  $M$  le point d'observation **variable**
- ▶ on a  $r_{1,2} = \|\overrightarrow{S_{1,2}M}\|$
- ▶ on exprime

$$\Delta\varphi \equiv kr_2 - kr_1 = k \frac{r_2^2 - r_1^2}{r_1 + r_2}$$

et :

$$\begin{aligned} r_2^2 - r_1^2 &= (\overrightarrow{S_1M} + \overrightarrow{S_2M}) \cdot (\overrightarrow{S_2M} - \overrightarrow{S_1M}) \\ &= 2\overrightarrow{OM} \cdot \overrightarrow{S_2S_1} \end{aligned}$$

- ▶ pour un angle  $(\widehat{r_2; r_1})$  faible, (ie  $D \gg a, x$ ) :  $r_1 \simeq r_2 = D$   
 $\Delta\varphi \simeq 2kax/D = 4\pi ax/(D\lambda_{dB})$  : l'interfrange est  $i = \lambda_{dB}D/(2a)$
- ▶ avec  $\lambda_{dB} \simeq 4 \cdot 10^{-8}$  m,  $2a = 6\mu\text{m}$ ,  $D \simeq 10\text{cm}$  :  $i \simeq 6,7 \cdot 10^{-4}$  m

1. Dualité onde-particule pour la lumière et la matière
2. Interprétation probabiliste associée à la fonction d'onde
- 3. Relation d'indétermination spatiale de Heisenberg**
4. Quantification de l'énergie

1. Dualité onde-particule pour la lumière et la matière

2. Interprétation probabiliste associée à la fonction d'onde

**3. Relation d'indétermination spatiale de Heisenberg**

**3.1 Distribution de quantité de mouvement**

3.2 Inégalité de Heisenberg

4. Quantification de l'énergie

# Distribution de quantité de mouvement

# Distribution de quantité de mouvement

- ▶ la fonction d'onde  $\Psi(x)$  contient également l'information sur la quantité de mouvement

# Distribution de quantité de mouvement

- ▶ la fonction d'onde  $\Psi(x)$  contient également l'information sur la quantité de mouvement
  - ▶ la fonction d'onde monochromatique  $\Psi(x) \propto e^{ik_0x}$  a une quantité de mouvement  $\hbar k_0 \vec{e}_x$

# Distribution de quantité de mouvement

- ▶ la fonction d'onde  $\Psi(x)$  contient également l'information sur la quantité de mouvement
  - ▶ la fonction d'onde monochromatique  $\Psi(x) \propto e^{ik_0x}$  a une quantité de mouvement  $\hbar k_0 \vec{e}_x$
  - ▶ et pour un paquet d'ondes ? **Animation décomposition paquet d'ondes**

# Distribution de quantité de mouvement

## Distribution de quantité de mouvement

On peut décrire un paquet d'ondes comme une somme d'ondes monochromatiques de vecteurs d'ondes principalement compris dans un intervalle  $[k_0 - \Delta k/2; k_0 + \Delta k/2]$ .

- ▶  $\hbar k_0$  représente la quantité de mouvement moyenne du quanton : son centre se déplace à  $\hbar k_0/m$
- ▶  $\hbar \Delta k$  représente l'**indétermination** sur la qdm

# Distribution de quantité de mouvement

## Distribution de quantité de mouvement

On peut décrire un paquet d'ondes comme une somme d'ondes monochromatiques de vecteurs d'ondes principalement compris dans un intervalle  $[k_0 - \Delta k/2; k_0 + \Delta k/2]$ .

- ▶  $\hbar k_0$  représente la quantité de mouvement moyenne du quanton : son centre se déplace à  $\hbar k_0/m$
- ▶  $\hbar \Delta k$  représente l'**indétermination** sur la qdm
- ▶  $\hbar \Delta k$  liée à la largeur de distribution statistique des mesures de qdm
- ▶ pour une onde monochromatique :  $\Delta k = 0$  car il n'y a aucune **indétermination**

# Cas de la diffraction d'une onde lumineuse

- ▶ diffraction d'une onde lumineuse par une fente de largeur  $a$  selon  $x$ , infinie selon  $y$
- ▶ propagation selon  $\vec{e}_z$
- ▶ on ne s'intéresse qu'à l'évolution de la répartition selon  $x$
- ▶ l'onde est principalement diffractée avec des directions vérifiant  $\sin(\theta) \simeq \frac{\lambda}{a}$  : la quantité de mouvement de l'onde selon  $x$  juste après la fente a acquis une indétermination

## Cas de la diffraction d'une onde lumineuse

On considère la diffraction d'une onde lumineuse plane monochromatique de longueur d'onde  $\lambda_0$  en incidence normale sur une fente de largeur  $a$  selon  $x$  et infinie selon  $y$ .

- 1 On considère l'onde en amont de la fente. a. Quels sont son vecteur d'onde, et la quantité de mouvement dans une interprétation en termes de photons ? b. Quelles sont ses indéterminations spatiales et en quantité de mouvement :
  - ▶ selon  $x$  ;
  - ▶ selon  $z$ .
- 2 On considère l'onde juste en aval de la fente. a. Quelle est l'ordre de grandeur de son indétermination spatiale selon  $x$ , notée  $\Delta x$  ? b. En utilisant une interprétation en termes de photons, montrer que ceux-ci acquièrent une quantité de mouvement selon  $x$ . Quelle est l'ordre de grandeur de l'indétermination de cette qdm, notée  $\Delta p_x$ . c. Calculer le produit  $\Delta x \Delta p_x$  et commenter.

# Correction

1 a.  $k = 2\pi/\lambda$ ;  $\vec{p} = (h/\lambda)\vec{e}_z$  b.

▶  $\Delta z = \infty$ ;  $\Delta p_z = 0$

▶  $\Delta x = \infty$ ;  $\Delta p_x = 0$

2 a.  $\Delta x \simeq a$  b. déplacement selon  $x$  : dans la direction  $\alpha$  :

$p_x = \sin(\alpha)h/\lambda$ ;  $\Delta p_x = h\sin(\alpha)/\lambda \simeq h/a$  c.  $\Delta x\Delta p_x = h$ , indépendant de

*a.*

1. Dualité onde-particule pour la lumière et la matière
2. Interprétation probabiliste associée à la fonction d'onde
3. Relation d'indétermination spatiale de Heisenberg
  - 3.1 Distribution de quantité de mouvement
  - 3.2 Inégalité de Heisenberg
4. Quantification de l'énergie

# Inégalité de Heisenberg

## Inégalité d'indétermination de Heisenberg

On considère la fonction d'onde d'un quanton, pour un système unidimensionnel, caractérisée par :

- ▶ une indétermination sur la position  $\Delta x$  ;
- ▶ une indétermination sur la quantité de mouvement  $\Delta p_x$ .

Leur produit vérifie l'inégalité :

$$\Delta x \Delta p_x \geq \frac{\hbar}{2},$$

avec  $\hbar = h/(2\pi) \simeq 1,05 \cdot 10^{-34} \text{ J} \cdot \text{s}$  la constante de Planck réduite.

- ▶ il s'agit d'un résultat **analytique** liant les distributions de position et qdm par la **transformée de Fourier**
- ▶ plus une fonction d'onde est localisée, plus la valeur minimale de  $\Delta p_x$  sera élevée *ie* plus ses vecteurs d'ondes seront dispersés, ☰

# Exemples

- ▶ Animation Fourier continu :

# Exemples

- ▶ Animation Fourier continu :
- ▶ l'égalité peut être réalisée pour certaines distributions en position et en qdm toutes les deux gaussiennes

# Exemples

- ▶ **Animation Fourier continu :**
- ▶ l'égalité peut être réalisée pour certaines distributions en position et en qdm toutes les deux gaussiennes
- ▶ pour une sinusoïde monochromatique  $\Delta x \rightarrow \infty$

# Exemples

- ▶ Animation Fourier continu :
- ▶ l'égalité peut être réalisée pour certaines distributions en position et en qdm toutes les deux gaussiennes
- ▶ pour une sinusoïde monochromatique  $\Delta x \rightarrow \infty$
- ▶ pour les gaussiennes vérifiant l'égalité : augmentation de  $\Delta x$  diminue  $\Delta p_x$

# Exemples

- ▶ **Animation Fourier continu :**
- ▶ l'égalité peut être réalisée pour certaines distributions en position et en qdm toutes les deux gaussiennes
- ▶ pour une sinusoïde monochromatique  $\Delta x \rightarrow \infty$
- ▶ pour les gaussiennes vérifiant l'égalité : augmentation de  $\Delta x$  diminue  $\Delta p_x$
- ▶ l'évolution temporelle du paquet d'onde pour une particule libre augmente  $\Delta x$  sans changer  $\Delta p_x$  : **Animation évolution paquet d'ondes libre**

1. Dualité onde-particule pour la lumière et la matière
2. Interprétation probabiliste associée à la fonction d'onde
3. Relation d'indétermination spatiale de Heisenberg
4. Quantification de l'énergie

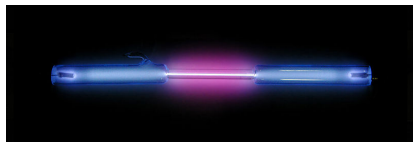
1. Dualité onde-particule pour la lumière et la matière
2. Interprétation probabiliste associée à la fonction d'onde
3. Relation d'indétermination spatiale de Heisenberg
4. Quantification de l'énergie
  - 4.1 L'atome en physique classique
  - 4.2 Modèle planétaire de Bohr
  - 4.3 Autres exemples de quantification

# Observations expérimentales

on observe le rayonnement émis ou absorbé par un gaz atomique dans une **lampe à décharge**

# Observations expérimentales

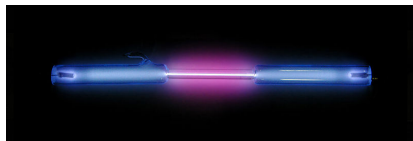
- ▶ décharges électriques ( $100\text{V} \cdot \text{cm}^{-1}$ ) dans  $\text{H}_2(\text{g})$  sous faible pression
- ▶ ionisation du gaz et courant électrique
- ▶ les collisions avec les électrons excitent  $\text{H}_2$  qui se désexcitent en émettant un rayonnement



Lampe à décharge :  $\text{H}_2(\text{g})$  sous 1,8kV

# Observations expérimentales

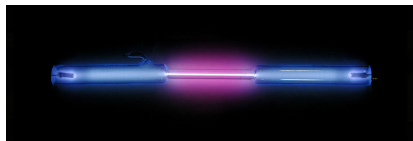
- ▶ décharges électriques ( $100\text{V} \cdot \text{cm}^{-1}$ ) dans  $\text{H}_{2(\text{g})}$  sous faible pression
- ▶ ionisation du gaz et courant électrique
- ▶ les collisions avec les électrons excitent  $\text{H}_2$  qui se désexcitent en émettant un rayonnement
  - ▶ le spectre des longueurs d'ondes émises est discret



Lampe à décharge :  $\text{H}_{2(\text{g})}$  sous 1,8kV

# Observations expérimentales

- ▶ décharges électriques ( $100 \text{ V} \cdot \text{cm}^{-1}$ ) dans  $\text{H}_2(\text{g})$  sous faible pression
- ▶ ionisation du gaz et courant électrique
- ▶ les collisions avec les électrons excitent  $\text{H}_2$  qui se désexcitent en émettant un rayonnement
  - ▶ le spectre des longueurs d'ondes émises est discret
  - ▶ les longueurs d'onde  $\lambda_i$  émises sont indépendantes de la pression et de la température du gaz



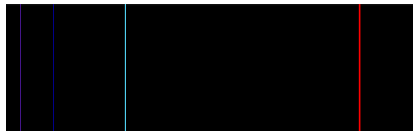
Lampe à décharge :  $\text{H}_2(\text{g})$  sous 1,8 kV

# Observations expérimentales

## Définition (Spectre d'émission)

Les longueurs d'ondes discrètes émises sont nommées **raies**.

L'ensemble des raies constitue le **spectre d'émission** de l'atome.



Spectre de H

# Modèle planétaire classique

- ▶ pour l'atome d'hydrogène, on considère un électron ponctuel de charge  $-e$ , de masse  $m_e$
- ▶ en mouvement autour d'un noyau ponctuel fixe de charge  $+e$
- ▶ l'interaction étant régie par la force coulombienne

# Modèle planétaire classique

- ▶ pour l'atome d'hydrogène, on considère un électron ponctuel de charge  $-e$ , de masse  $m_e$
- ▶ en mouvement autour d'un noyau ponctuel fixe de charge  $+e$
- ▶ l'interaction étant régie par la force coulombienne

## Modèle planétaire

En physique classique, les orbites circulaires de rayon  $a$  d'un électron autour du noyau de l'atome d'hydrogène ont :

- ▶ une énergie mécanique :  $\mathcal{E}_m = -\frac{e^2}{8\pi\epsilon_0 a}$
- ▶ un moment cinétique  $\sigma = \sqrt{\frac{am_e e^2}{4\pi\epsilon_0}}$

# Modèle planétaire classique

- ▶ pour l'atome d'hydrogène, on considère un électron ponctuel de charge  $-e$ , de masse  $m_e$
- ▶ en mouvement autour d'un noyau ponctuel fixe de charge  $+e$
- ▶ l'interaction étant régie par la force coulombienne

## Modèle planétaire

En physique classique, les orbites circulaires de rayon  $a$  d'un électron autour du noyau de l'atome d'hydrogène ont :

- ▶ une énergie mécanique :  $\mathcal{E}_m = -\frac{e^2}{8\pi\epsilon_0 a}$
- ▶ un moment cinétique  $\sigma = \sqrt{\frac{am_e e^2}{4\pi\epsilon_0}}$

# Modèle planétaire classique

- ▶ pour l'atome d'hydrogène, on considère un électron ponctuel de charge  $-e$ , de masse  $m_e$
- ▶ en mouvement autour d'un noyau ponctuel fixe de charge  $+e$
- ▶ l'interaction étant régie par la force coulombienne

## Modèle planétaire

En physique classique, les orbites circulaires de rayon  $a$  d'un électron autour du noyau de l'atome d'hydrogène ont :

- ▶ une énergie mécanique :  $\mathcal{E}_m = -\frac{e^2}{8\pi\epsilon_0 a}$
- ▶ un moment cinétique  $\sigma = \sqrt{\frac{am_e e^2}{4\pi\epsilon_0}}$

- ▶ toutes les valeurs de  $a$  sont possibles : émission et absorption d'un rayonnement à  $\nu$  quelconques **contrairement aux spectres observés**

# Modèle planétaire classique

## Modèle planétaire

En physique classique, les orbites circulaires de rayon  $a$  d'un électron autour du noyau de l'atome d'hydrogène ont :

- ▶ une énergie mécanique :  $\mathcal{E}_m = -\frac{e^2}{8\pi\epsilon_0 a}$
  - ▶ un moment cinétique  $\sigma = \sqrt{\frac{am_e e^2}{4\pi\epsilon_0}}$
- 
- ▶ toutes les valeurs de  $a$  sont possibles : émission et absorption d'un rayonnement à  $\nu$  quelconques **contrairement aux spectres observés**
  - ▶ on pourrait aussi avoir des trajectoires elliptiques

# Modèle planétaire classique

## Modèle planétaire

En physique classique, les orbites circulaires de rayon  $a$  d'un électron autour du noyau de l'atome d'hydrogène ont :

- ▶ une énergie mécanique :  $\mathcal{E}_m = -\frac{e^2}{8\pi\epsilon_0 a}$
  - ▶ un moment cinétique  $\sigma = \sqrt{\frac{am_e e^2}{4\pi\epsilon_0}}$
- 
- ▶ toutes les valeurs de  $a$  sont possibles : émission et absorption d'un rayonnement à  $\nu$  quelconques **contrairement aux spectres observés**
  - ▶ on pourrait aussi avoir des trajectoires elliptiques
  - ▶ on constate que  $\mathcal{E}_m = \frac{\text{cste}}{\sigma^2}$

1. Dualité onde-particule pour la lumière et la matière
2. Interprétation probabiliste associée à la fonction d'onde
3. Relation d'indétermination spatiale de Heisenberg
- 4. Quantification de l'énergie**
  - 4.1 L'atome en physique classique
  - 4.2 Modèle planétaire de Bohr**
  - 4.3 Autres exemples de quantification

# Raies de l'atome d'hydrogène

on observe que les raies d'émission correspondent à des transitions entre des énergies vérifiant :

$\mathcal{E}_{m_n} - \mathcal{E}_{m_p} = \text{cste} (1/n^2 - 1/p^2)$ , avec  $n$  et  $p$  des entiers.



Spectre de H

# Modèle planétaire de Bohr

## Modèle planétaire de Bohr

Dans le modèle de Bohr de l'atome d'hydrogène, on fait l'hypothèse que le **moment cinétique** est **quantifié** : il ne peut prendre que les valeurs discrètes :

$$\sigma_n = n\hbar,$$

avec  $n \in \mathbb{N}^*$ .

Cette quantification implique une quantification :

- ▶ de **l'énergie**  $\mathcal{E}_n = -\frac{E_0}{n^2}$  avec  $E_0 = 13,605\,693\,122\,994(26)$  eV **l'énergie de Rydberg**

Introduction

Dualité onde-particule pour la lumière et la matière

Interprétation probabiliste associée à la fonction d'onde

Relation d'indétermination spatiale de Heisenberg

Quantification de l'énergie

L'atome en physique classique

**Modèle planétaire de Bohr**

Autres exemples de quantification

# Modèle planétaire de Bohr

# Modèle planétaire de Bohr

- ▶ ici on rajoute arbitrairement une **quantification d'une grandeur classique**
- ▶ en **physique quantique**, l'énergie et le moment cinétique sont, de même que la position et la qdm, déterminées par la fonction d'onde
- ▶ on recherche des **états stationnaires** dans lesquels la fonction d'onde reste la même au cours du temps, à une phase globale près
  - ▶ en physique quantique, ces états stationnaires ont les mêmes **valeurs  $E_n$  de l'énergie**
  - ▶ la taille caractéristique de ces fonctions d'onde est de l'ordre de  $a_n$

# Nombres quantiques de l'atome d'hydrogène (HP)

- ▶ dans la classification périodique, la description des couches et sous-couches correspond à des nombres quantiques
- ▶ à une période correspond le nombre quantique  $n$
- ▶ il existe d'autres grandeurs quantifiées
- ▶ plusieurs états quantiques différents peuvent avoir la même énergie, on dit qu'ils sont dégénérés

# Nombres quantiques de l'atome d'hydrogène (HP)

## Nombres quantiques et orbitales atomiques

Un état quantique stationnaire, de l'atome d'hydrogène est complètement décrit par la données de **4** nombres entiers ou demi-entiers.

3 sont relatifs au mouvement orbital de l'électron :

- ▶  $n \in \mathbb{N}^*$  : nombre quantique principal,
- ▶  $\ell \in \mathbb{N} \in [0; n - 1]$  : nombre quantique secondaire/azimuthal
- ▶  $m_\ell \in \mathbb{Z} \in [-\ell; \ell]$  : nombre quantique magnétique

La donnée du triplet  $\{n, \ell, m_\ell\}$  caractérise complètement une **orbitale atomique**, notée *O.A.*.

Le quatrième est le **nombre de spin**  $m_s = \pm \frac{1}{2}$  relatif au moment cinétique intrinsèque de l'électron nommé « spin ».

L'énergie d'un état est donnée par  $-\frac{E_0}{n^2}$ , sa dégénérescence est  $2n^2$  (en comptant les deux états de spin  $m_s = \pm \frac{1}{2}$ ).

# Nombres quantiques de l'atome d'hydrogène (HP)

## Grandeurs quantifiées

À chaque nombre quantique est associée une grandeur quantifiée :

$n$  l'énergie :  $\mathcal{E}_n = -\frac{E_0}{n^2}$ ,

$\ell$  la norme du moment cinétique, noté  $\sigma$ . On a  
 $\sigma = \sqrt{\ell(\ell + 1)}\hbar$ ,

$m_\ell$  la projection  $\sigma_z$  de  $\vec{\sigma}$  sur un axe privilégié  $\sigma_z = m_\ell\hbar$ ,

$m_s$  la projection  $S_z$  du moment cinétique intrinsèque  $\vec{S}$  (de norme  $S = \sqrt{\frac{1}{2}(\frac{1}{2} + 1)}\hbar$ ) sur un axe privilégié  $S_z = m_s\hbar$ .

# Nombres quantiques de l'atome d'hydrogène (HP)

- ▶  la dégénérescence sera différente pour les niveaux d'un atome **polyélectronique**
- ▶ la description des structures **fine** et **hyperfine** fait intervenir de **nouveaux nombres quantiques**

1. Dualité onde-particule pour la lumière et la matière
2. Interprétation probabiliste associée à la fonction d'onde
3. Relation d'indétermination spatiale de Heisenberg
4. Quantification de l'énergie
  - 4.1 L'atome en physique classique
  - 4.2 Modèle planétaire de Bohr
  - 4.3 Autres exemples de quantification

Introduction

Dualité onde-particule pour la lumière et la matière

Interprétation probabiliste associée à la fonction d'onde

Relation d'indétermination spatiale de Heisenberg

Quantification de l'énergie

L'atome en physique classique

Modèle planétaire de Bohr

Autres exemples de quantification

# Autres exemples de quantification

# Autres exemples de quantification

- ▶ la quantification intervient dès qu'un quanton est dans un **état lié** : la fonction d'onde doit « interférer constructivement avec elle-même »

# Autres exemples de quantification

- ▶ la quantification intervient dès qu'un quanton est dans un **état lié** : la fonction d'onde doit « interférer constructivement avec elle-même »
- ▶ pour une quanton unidimensionnel confiné entre  $x = 0$  et  $x = \ell$  : la **quantité de mouvement** doit être quantifiée (voir l'année prochaine)

# Autres exemples de quantification

- ▶ la quantification intervient dès qu'un quanton est dans un **état lié** : la fonction d'onde doit « interférer constructivement avec elle-même »
- ▶ pour une quanton unidimensionnel confiné entre  $x = 0$  et  $x = \ell$  : la **quantité de mouvement** doit être quantifiée (voir l'année prochaine)
  - ▶ par des interactions répulsives pour une particule massive

# Autres exemples de quantification

- ▶ la quantification intervient dès qu'un quanton est dans un **état lié** : la fonction d'onde doit « interférer constructivement avec elle-même »
- ▶ pour une quanton unidimensionnel confiné entre  $x = 0$  et  $x = \ell$  : la **quantité de mouvement** doit être quantifiée (voir l'année prochaine)
  - ▶ par des interactions répulsives pour une particule massive
  - ▶ par des miroirs pour la lumière

Introduction

Dualité onde-particule pour la lumière et la matière

Interprétation probabiliste associée à la fonction d'onde

Relation d'indétermination spatiale de Heisenberg

Quantification de l'énergie

L'atome en physique classique

Modèle planétaire de Bohr

Autres exemples de quantification

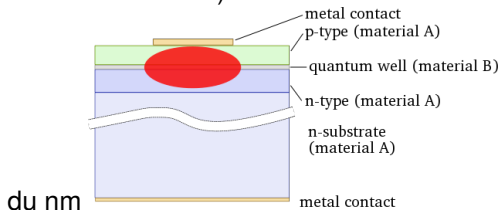
# Autres exemples de quantification

# Autres exemples de quantification

modèle limite de vrais systèmes :

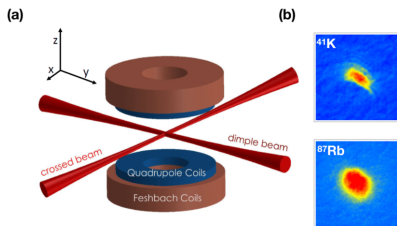
# Autres exemples de quantification

hétérostructure quantique (puits pour des électrons dans semi-conducteurs) : couche de GaAs dans du AlAs, taille de l'ordre



# Autres exemples de quantification

Piège optique pour atomes froids, taille de l'ordre de la longueur d'onde lumineuse,  $\simeq 80 \mu\text{m}$  ici



# Indispensable

- ▶ relations de Planck Einstein
- ▶ relation de de Broglie
- ▶ limites classiques
- ▶ amplitude de probabilité et (densité de) probabilité
- ▶ inégalité d'indétermination de Heisenberg
- ▶ modèle planétaire de Bohr